Fondamenti di Impianti e Logistica

Prof. Ing. Riccardo Melloni Università degli Studi di Modena e Reggio Emilia

Tubazioni: montaggio

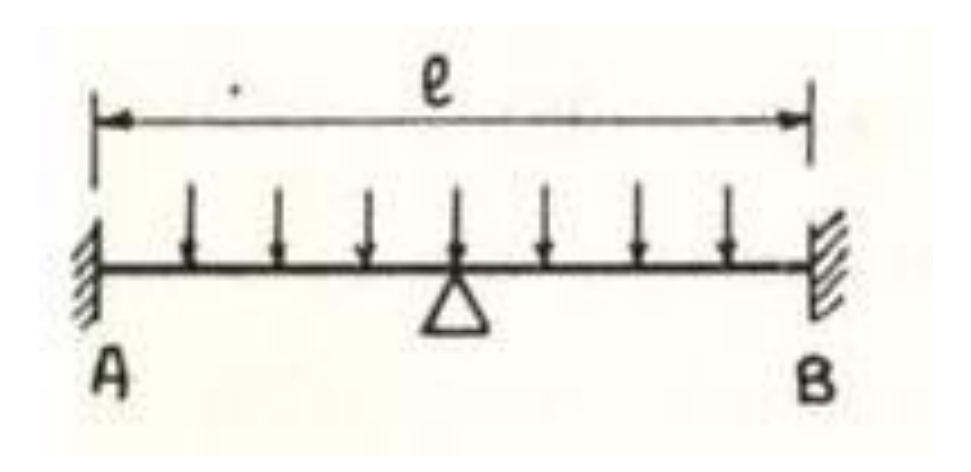
Installazione delle tubazioni

- Le tubazioni sono preposte per convogliare dei fluidi tra due o più apparecchiature fisse (caldaie, scambiatori di energia termica, serbatoi, ...);
- Sono previsti punti fissi di attacco alle apparecchiature;
- Sono previsti punti fissi o di supporto in più punti per sostenere il peso delle condotte e dei fluidi convogliati
- Sono previsti punti fissi o di supporto per contrastare le spinte dovute alla pressione del fluido;
- Sono previsti sostegni per favorire l'azione di elementi per contrastare le dilatazioni termiche

Condotta di lunghezza I rigidamente vincolata alle estremità;

 Comportamento di una trave semi incastrata in A e B soggetta ad un carico uniformemente distribuito q [N/m];

$$M_f \propto q \cdot l^2 [N \cdot m]$$



Sollecitazioni che si innescano

 W = modulo di elasticità

$$\sigma = \frac{M_f}{W} [N/m^2]$$

 J = momento di inerzia

$$W = \frac{J}{y} [m^3]$$

 Y = distanza dall'asse neutro

$$y = \frac{D}{2}[m]$$

Limitazioni

Di sollecitazione massima;

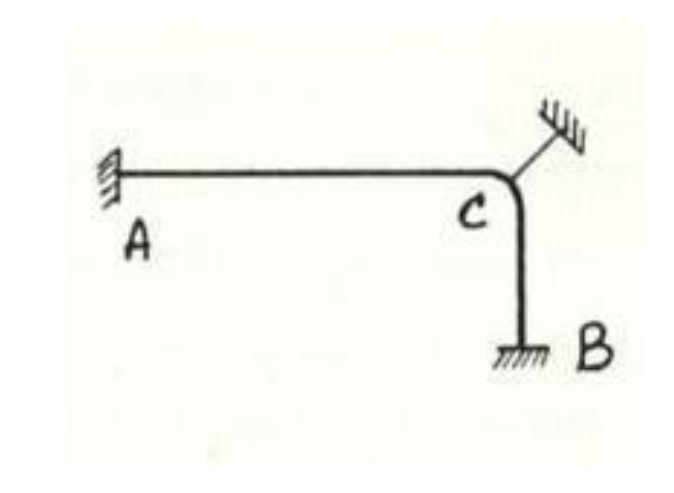
$$\sigma > \sigma_{amm}$$

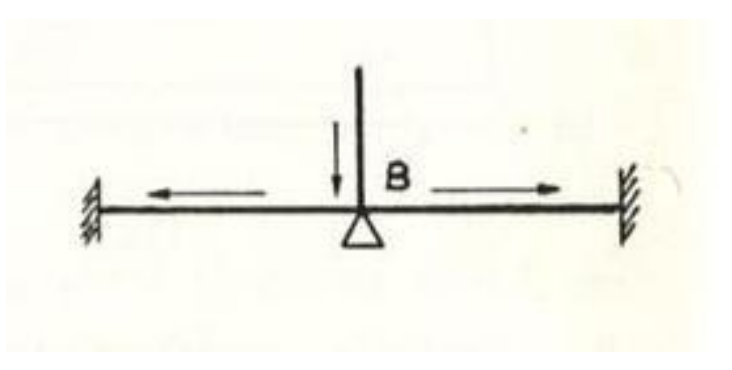
• Di limitazioni della freccia;

Di sollecitazioni sulle flangie;

Spinta del fluido

- La spinta del fluido in C sollecita uno dei due tratti di tubazione (orizzontale o verticale);
- La spinta del fluido come carico concentrato sulla tubazione;





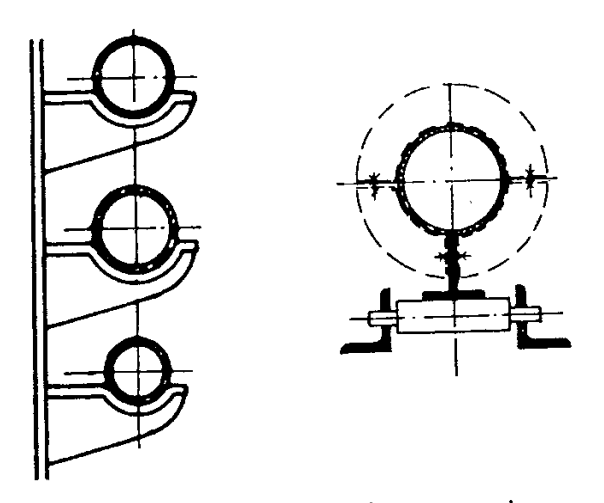


Fig. 33.11 – Staffaggi di appoggio per tubazioni.

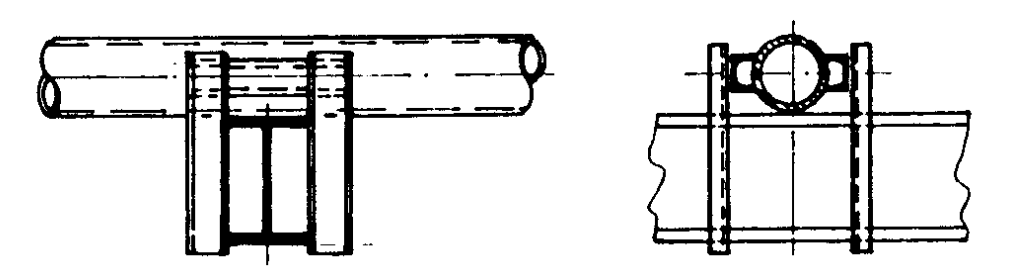


Fig. 33.12 – Guide di una tubazione.

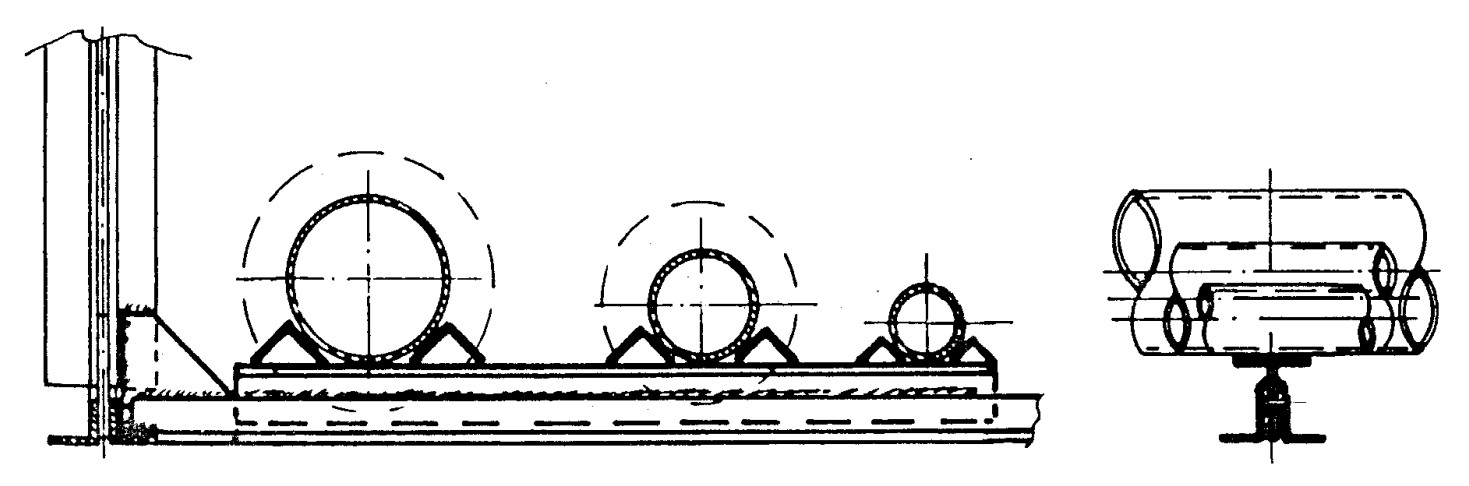


Fig. 33.14 – Staffaggio per il sostegno di tubazioni su una struttura di copertura in acciaio.

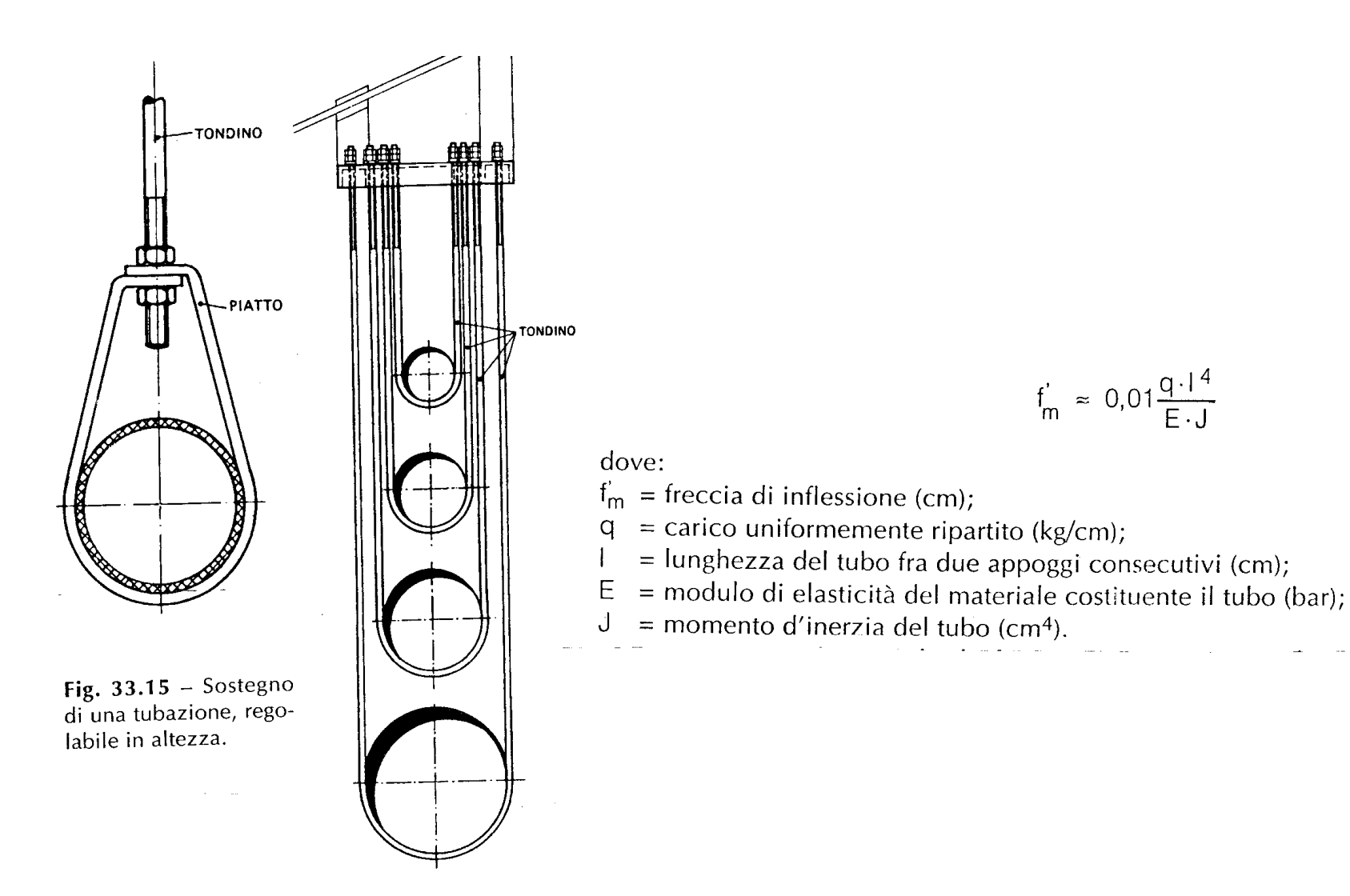


Fig. 33.16 – Staffaggio atto a sostenere più tubazioni aeree sovrapposte.

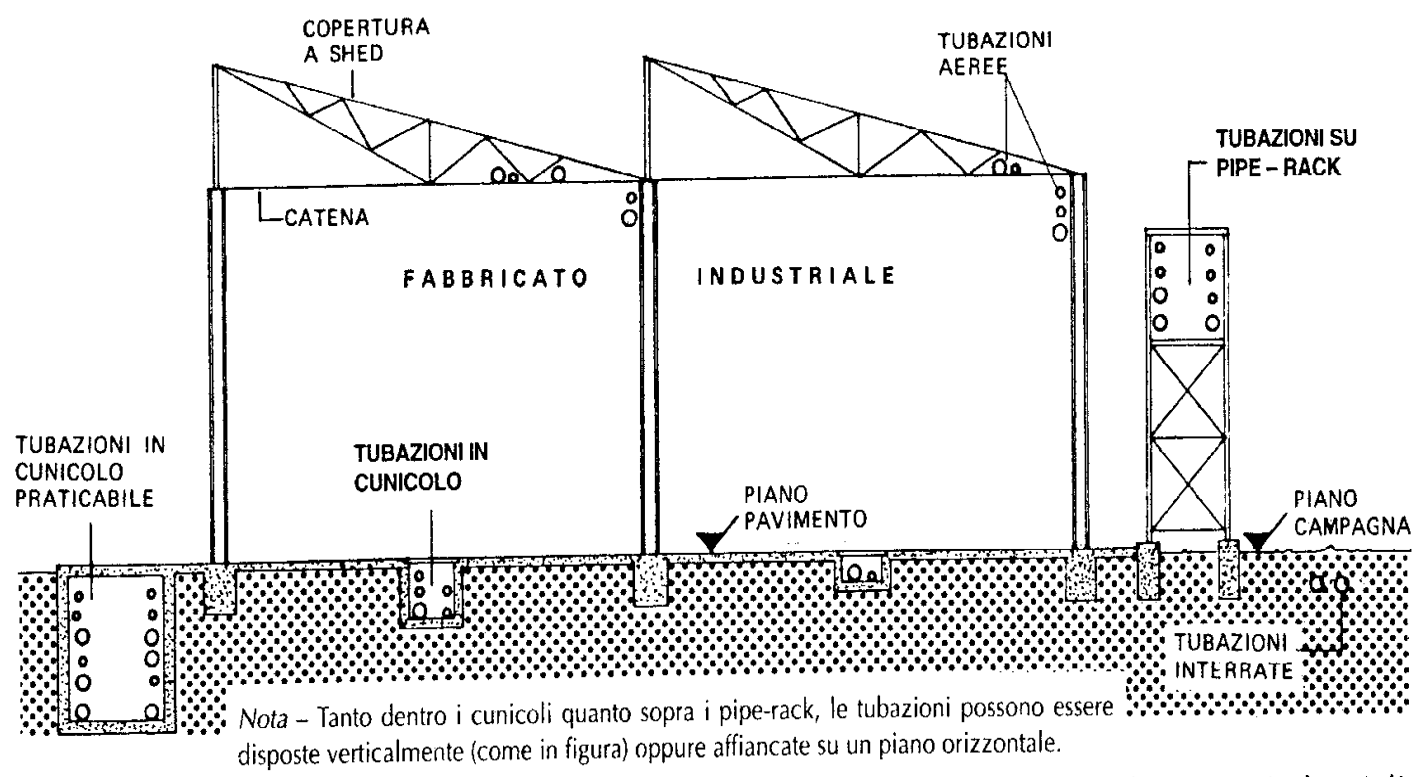


Fig. 33.1 – Possibili collocazioni delle tubazioni per l'alimentazione di fluidi alle utenze industriali.

⁽¹⁾ In regioni aventi un clima paragonabile a quello dell'Italia settentrionale ed a quote inferiori ai 1000 m, per proteggere dal gelo le tubazioni interrate contenenti acqua, si installano le stesse a profondità non minori di 60÷100 cm dal piano campagna, a seconda della natura del terreno (le profondità sono riferite alla generatrice superiore del tubo).

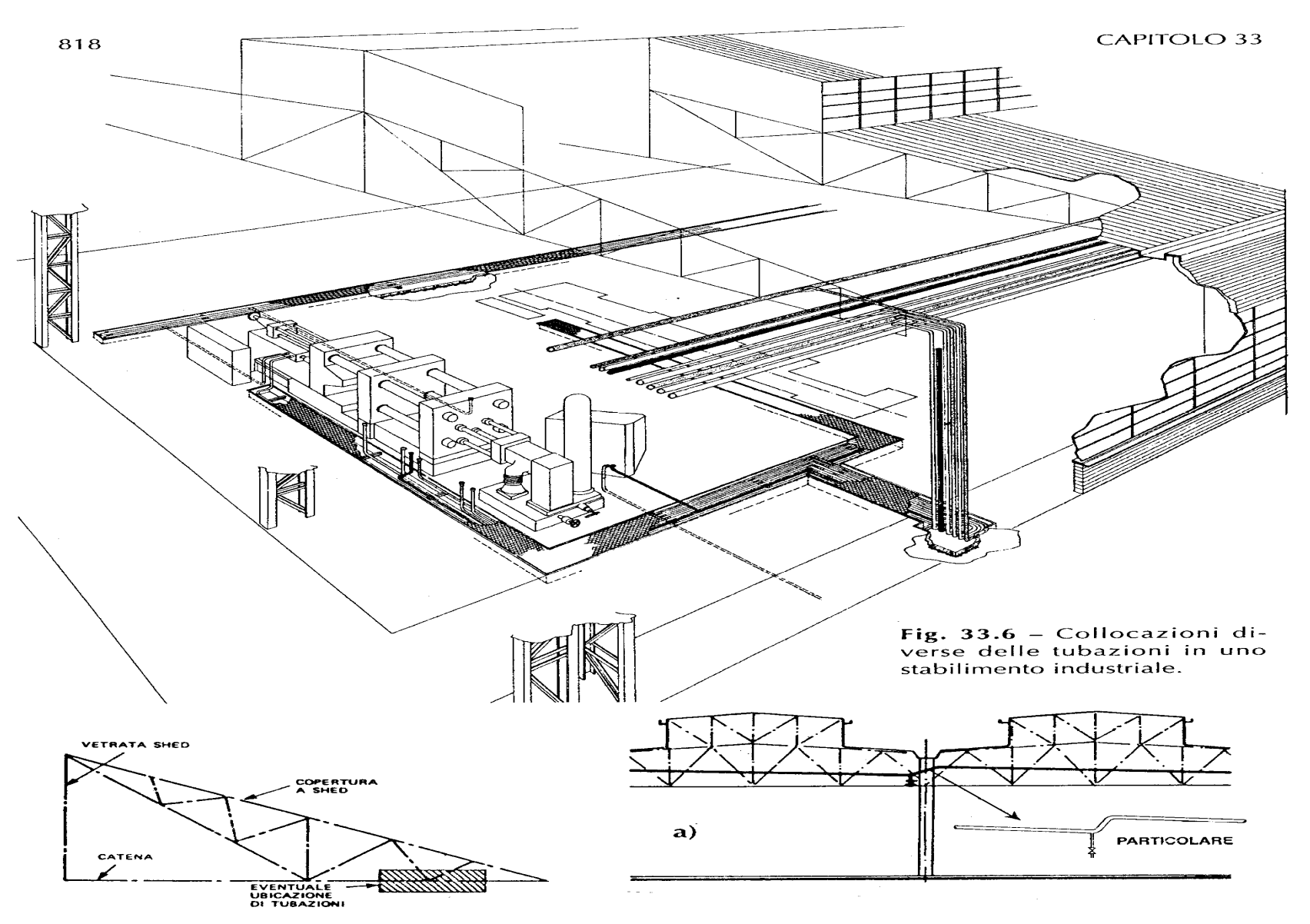


Fig. 33.7 – Possibile posizionamento delle tubazioni in corrispondenza di una capriata.

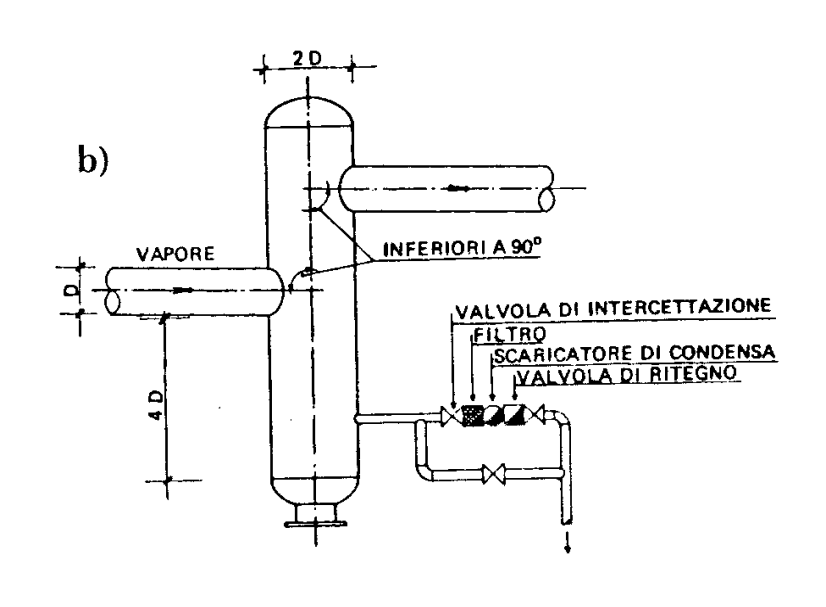


Fig. 33.8 – Accorgimenti atti a consentire un recupero di quota delle tubazioni.

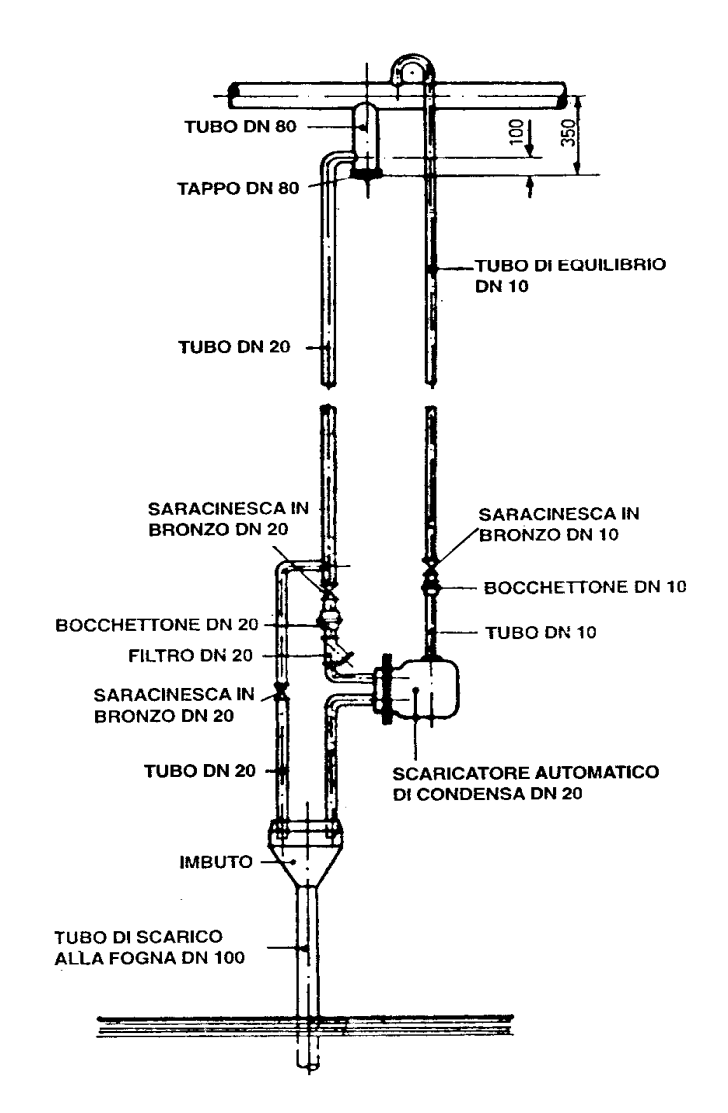


Fig. 33.9 – Scaricatore di condensa per reti (in acciaio) di distribuzione dell'aria compressa.

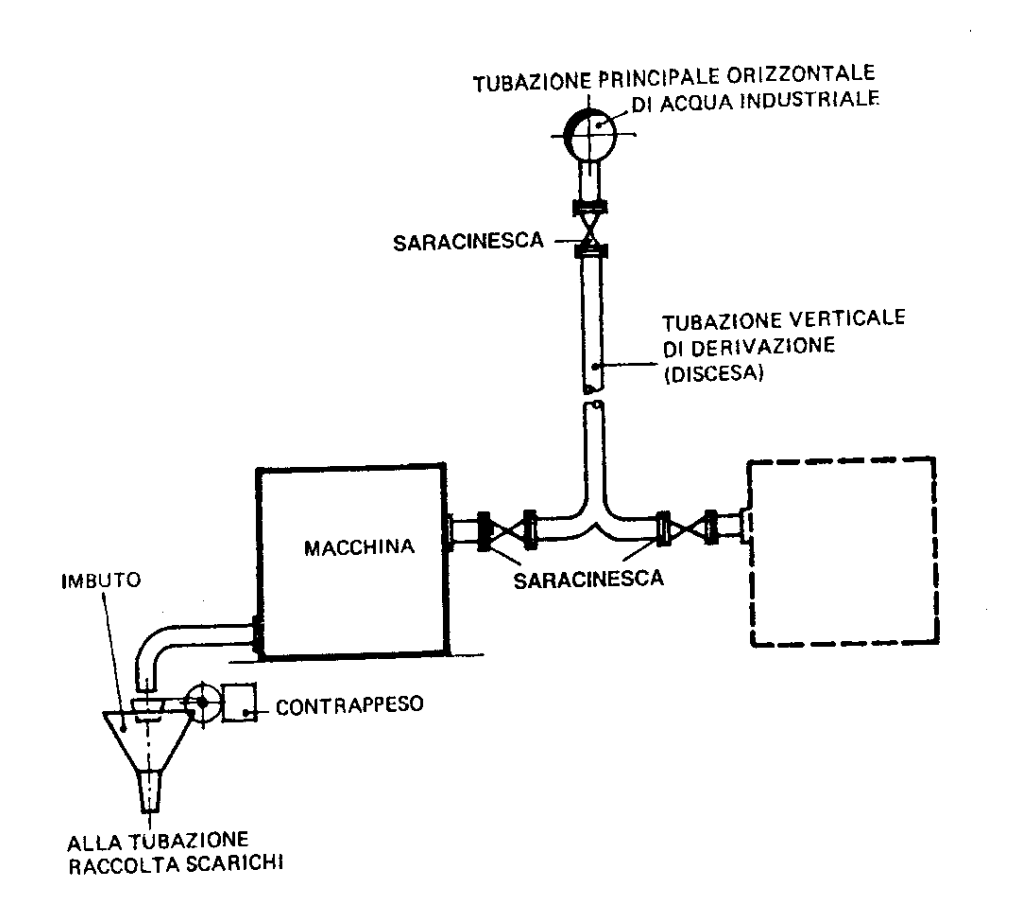


Fig. 33.2 – Derivazione per l'alimentazione di acqua industriale alle macchine.

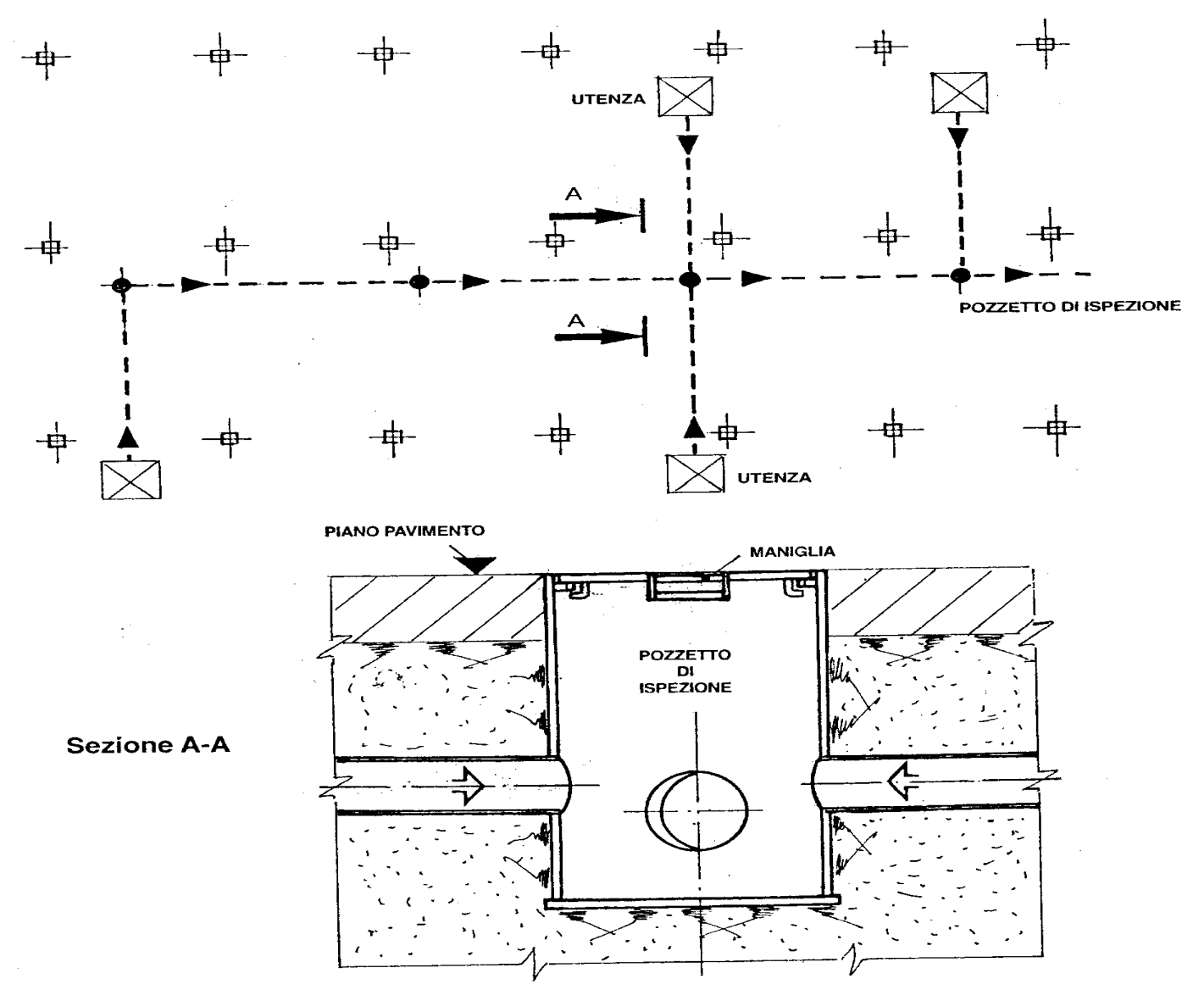
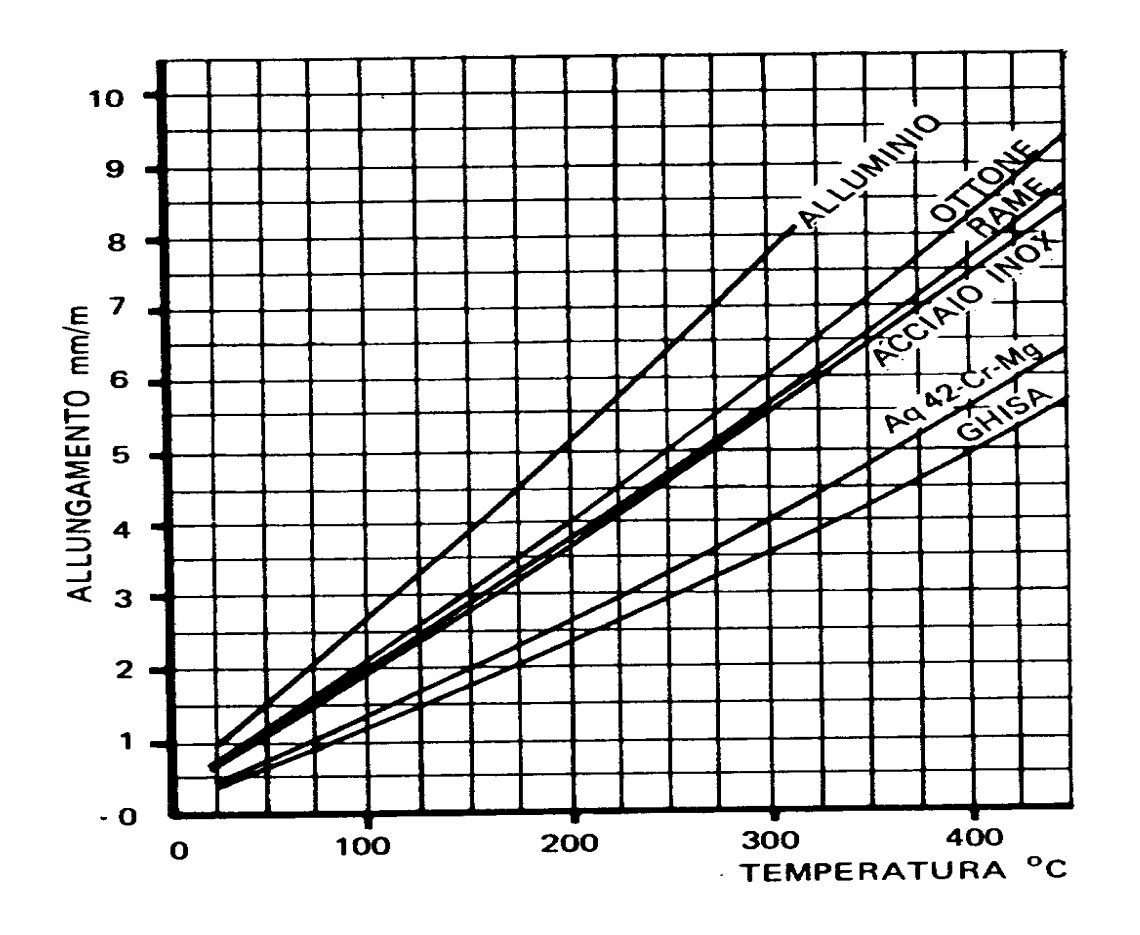


Fig. 33.3 – Rete interrata per il recupero di acque di raffreddamento, con pozzetti di ispezione.

Dilatazioni termiche

$$\Delta l = \alpha \cdot l \cdot \Delta t$$

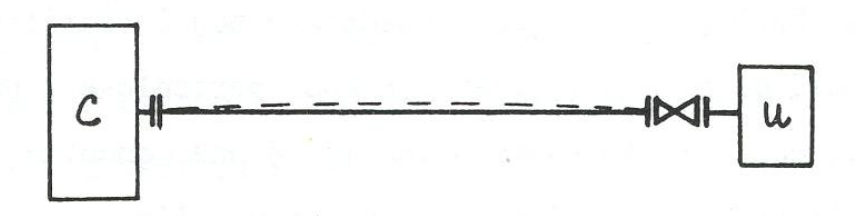
- α = coefficiente di dilatazione lineare [° C⁻¹]
- I = lunghezza della tubazione [m];
- ∆t = salto termico tra impianto in marcia e impianto fermo [° C];
- Esempio: t=20 [° C], t_{fluido} =120 [° C]; l=50 [m] Δ l=12·10⁻⁶·50·10³·(120-20) = 60 [mm]



allungamento di alcuni materiali in funzione della temperatura

Effetti dovuti alla dilatazione termica

- Tubazioni rettilinee di diametro contenuto: inflessione con sollecitazioni potenzialmente dannose alle flangie;
- Tubazioni di grande diametro: sollecitazioni assiali potenzialmente elevate.



Impedimento di una dilatazione

$$\sigma = \varepsilon \cdot E$$

$$\varepsilon = \frac{\Delta l}{l} = \alpha \cdot \Delta t$$

$$\sigma_{amm} = \frac{\sigma_r}{k}$$

- E = modulo di elasticità [MPa]
- $E_{\text{acciaio}} = 1,96.10^5 \text{ [MPa]}$

Impedimento di una dilatazione

- In un acciaio di qualità si ha $\sigma_r = 6.38 \cdot 10^2$ [MPa]
- Quindi:
 - $\Box \ \sigma_{amm} = \sigma_r / 3 = 2,13 \cdot 10^2 \, [MPa]$
- Per l'esempio riportato si ha:
 - \Box $\sigma = 12 \cdot 10^{-6} (120 20) 1,96 \cdot 10^5 = 2,35 \cdot 10^2 [MPa]$
- Quindi:
 - $\Box \sigma > \sigma_{amm}$

Impedimento di una dilatazione

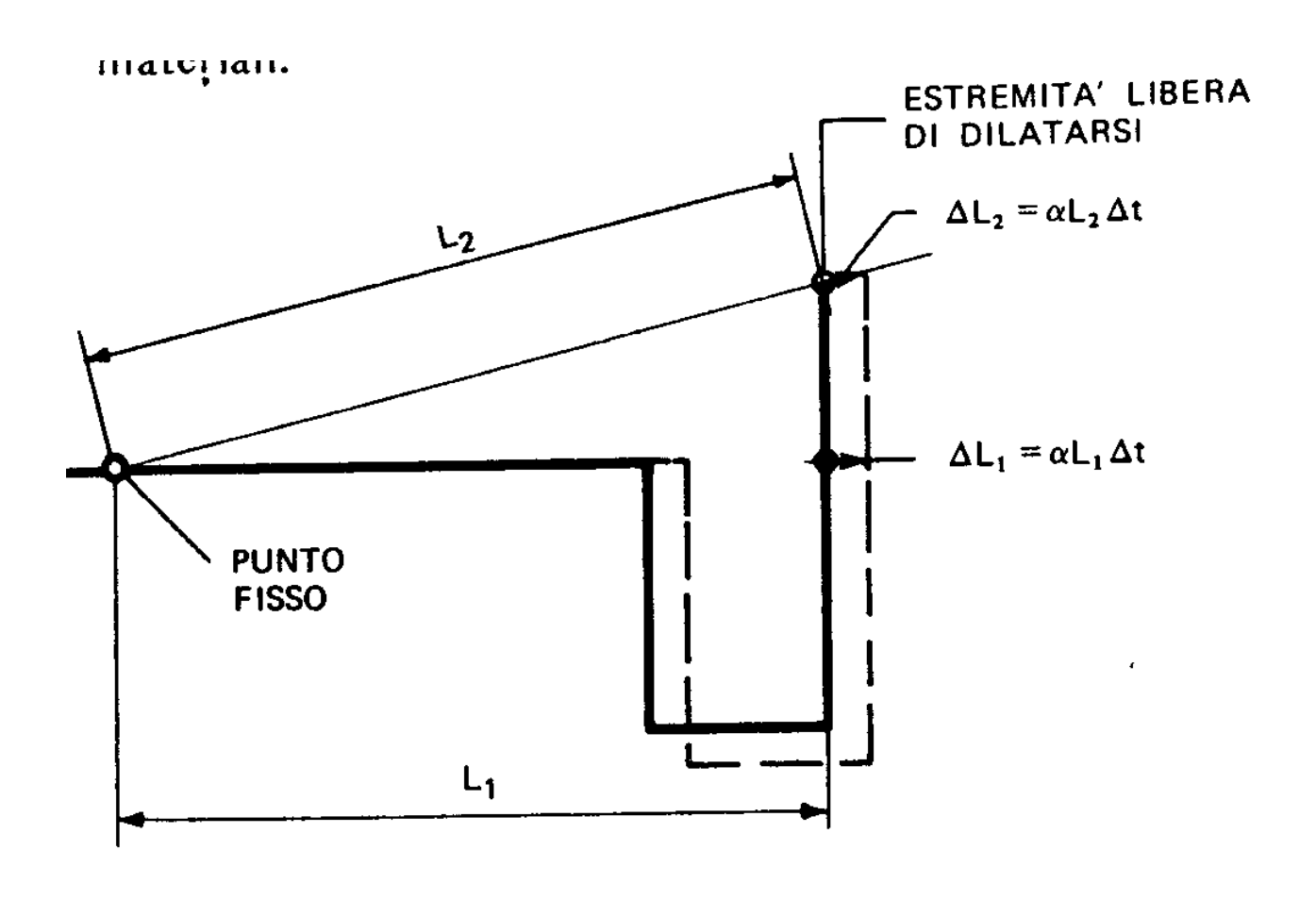
Blocco di calcestruzzo per contrasto

$$F_{spinta} = \sigma \cdot \Omega$$

$$\Omega = \pi \cdot (r_e^2 - r_i^2) = 3.14 \cdot (54^2 - 50^2) = 1310 [mm^2]$$

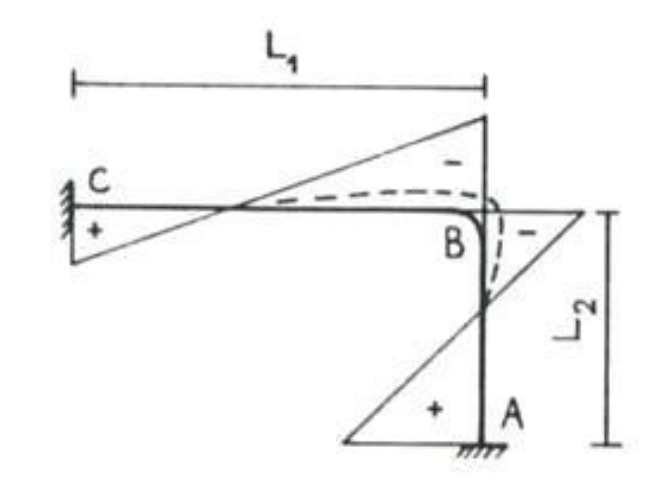
$$F_{spinta} = 2.13 \cdot 10^2 \cdot 1.31 \cdot 10^3 = 2.79 \cdot 10^5 [N]$$

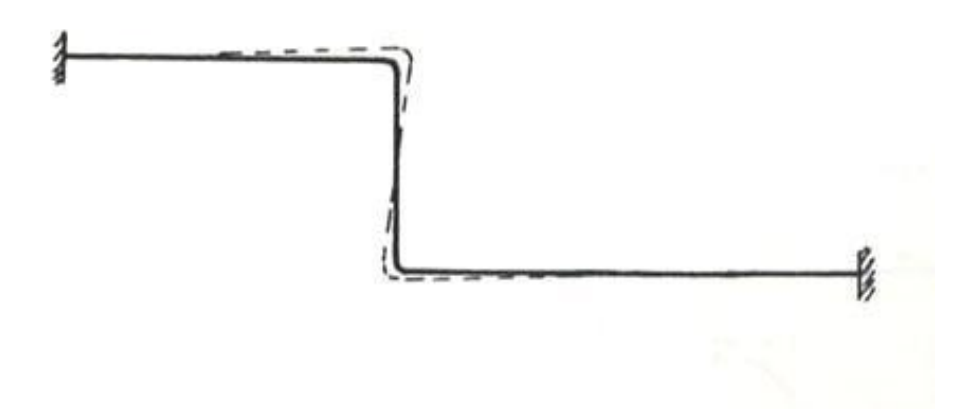
$$P = \frac{F_{spinta}}{f} = \frac{2.79 \cdot 10^5}{0.15} = 1.86 \cdot 10^6 [N]$$



Determinazione grafica della dilatazione di una tubazione non rettilinea.

Modifiche di layout





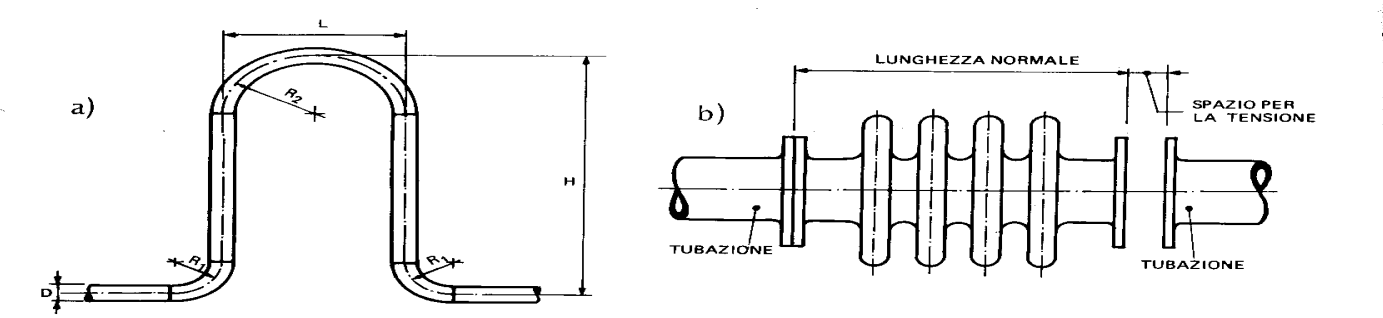


Fig. 33.27 - Schemi di compensatori.

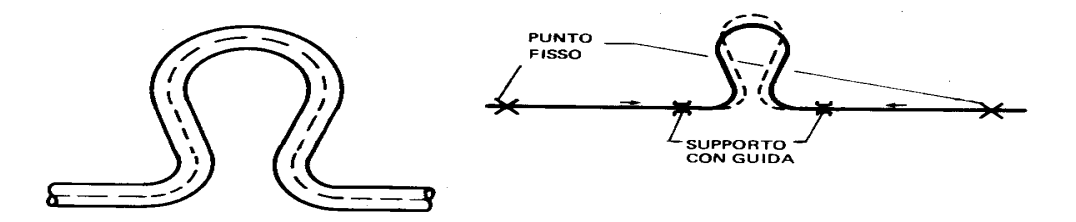


Fig. 33.28 - Compensatore a omega o a lira.



Fig. 33.29 - Compensatore assiale a soffietto.

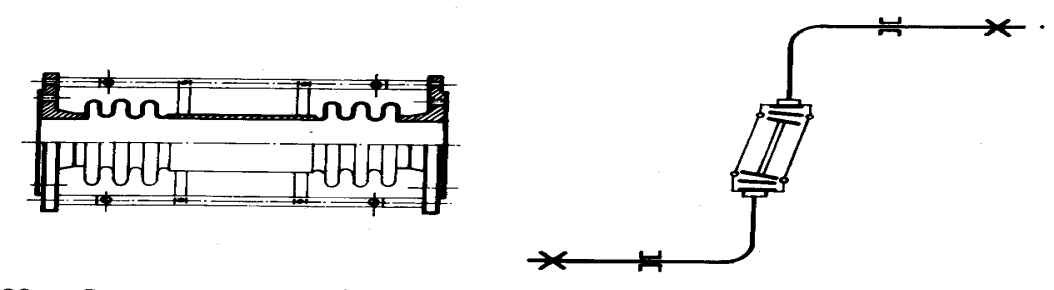
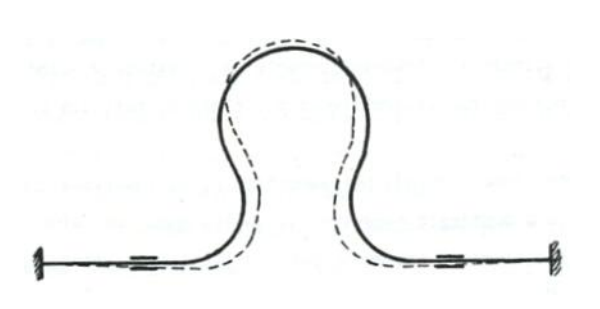
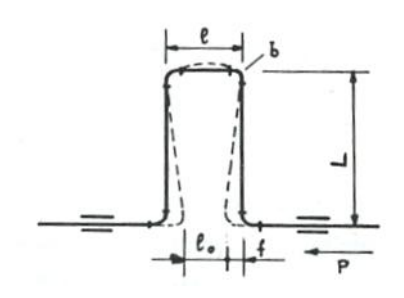


Fig. 33.30 - Compensatore a snodo.

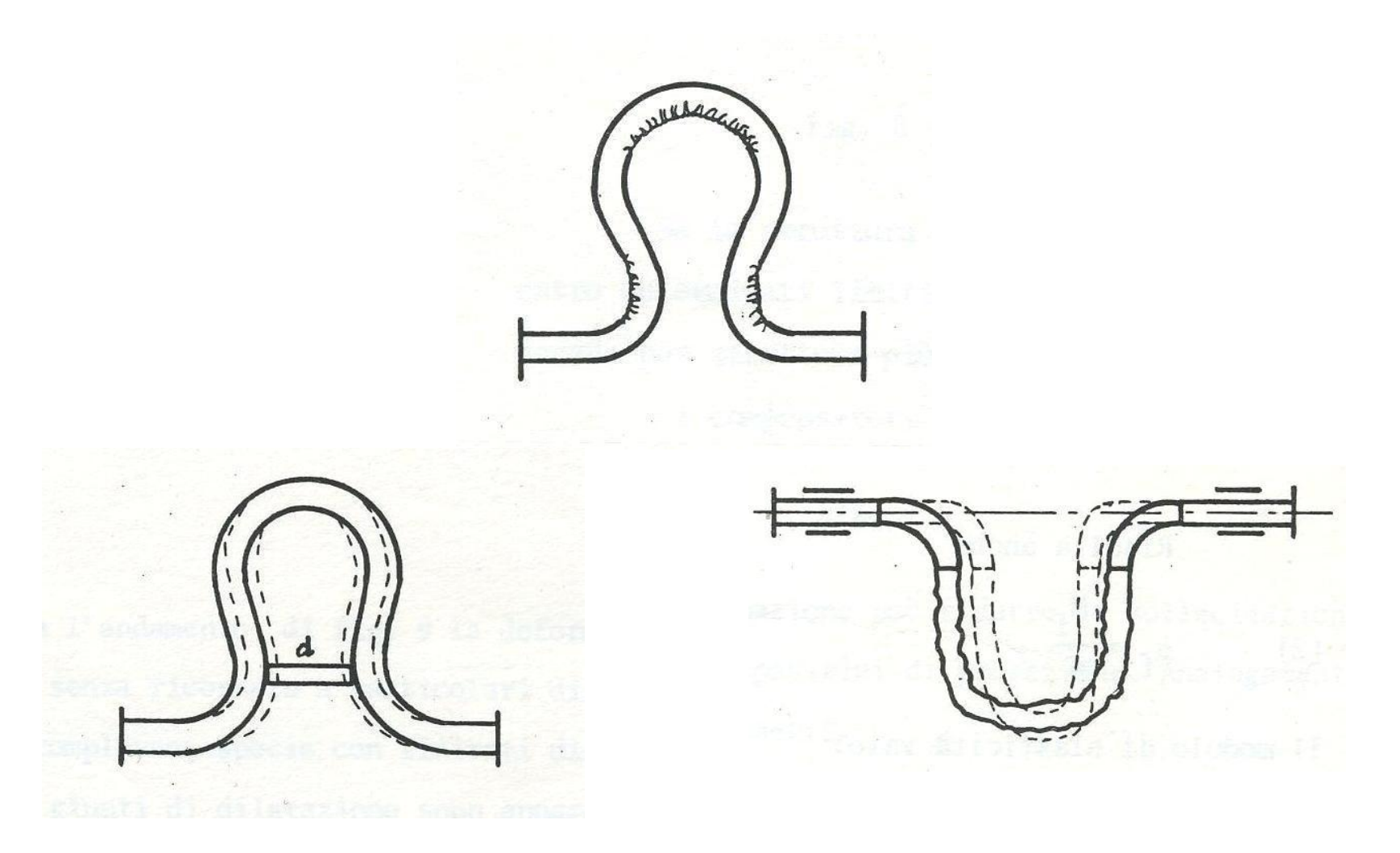
Compensatori a lira o ad omega



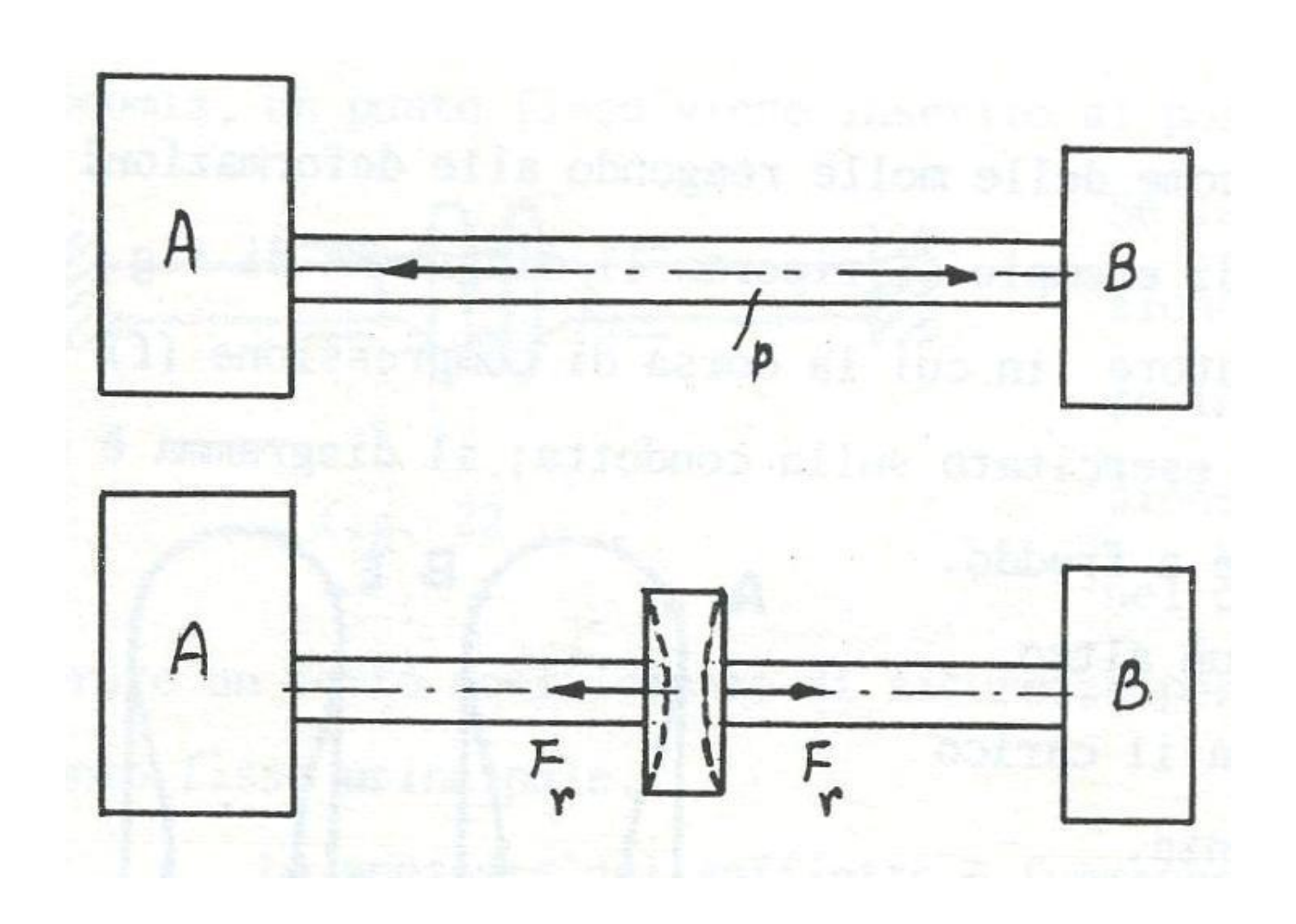


$$\begin{split} M_f &\propto P \cdot L \\ \sigma_f &= \frac{M_f}{W} \\ W &= \frac{J}{y} = \frac{2 \cdot J}{D} \\ \sigma_f &\propto \frac{P \cdot L \cdot D}{J} \\ f &\propto \frac{P \cdot L^3}{J} \\ \sigma_f &= \sigma_{amm} \Rightarrow \frac{P \cdot L}{J} \propto \frac{1}{D} \\ L &= k \cdot \sqrt{f \cdot D} \end{split}$$

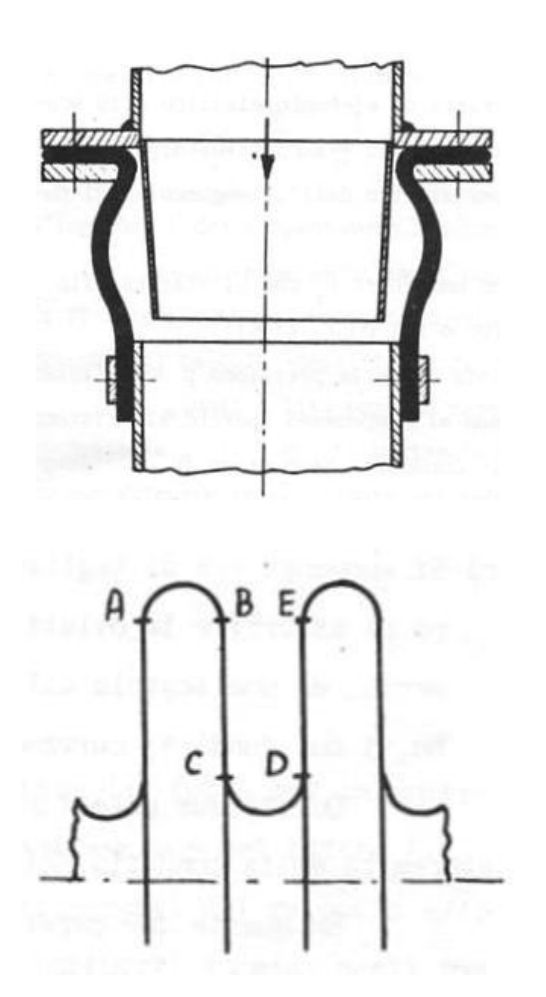
Compensatori a lira o ad omega

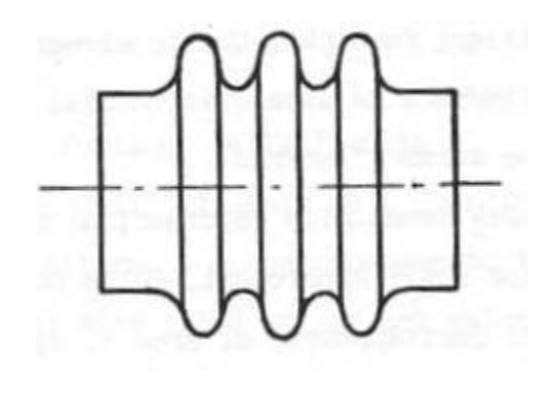


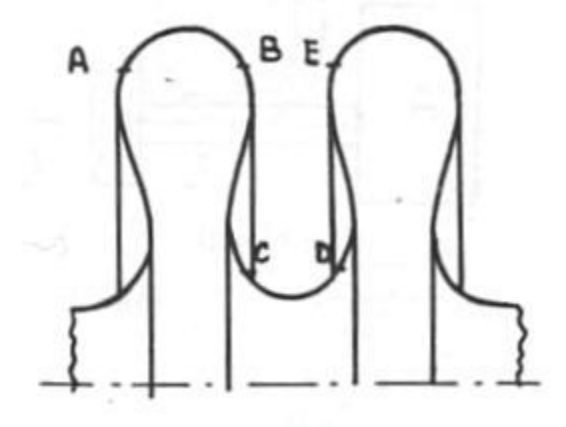
Compensatori assiali



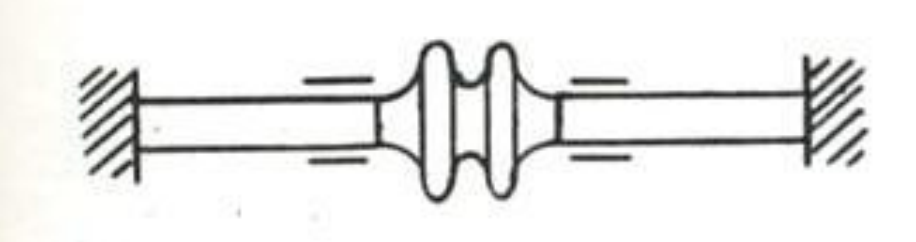
Compensatori assiali

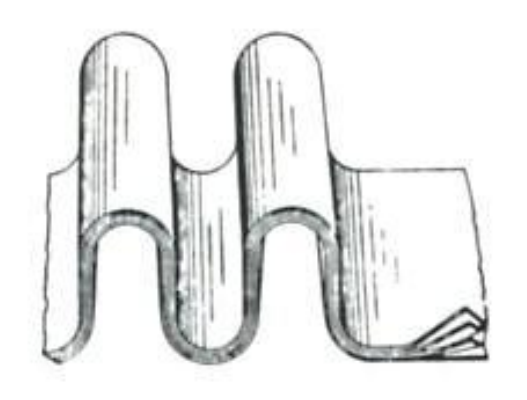


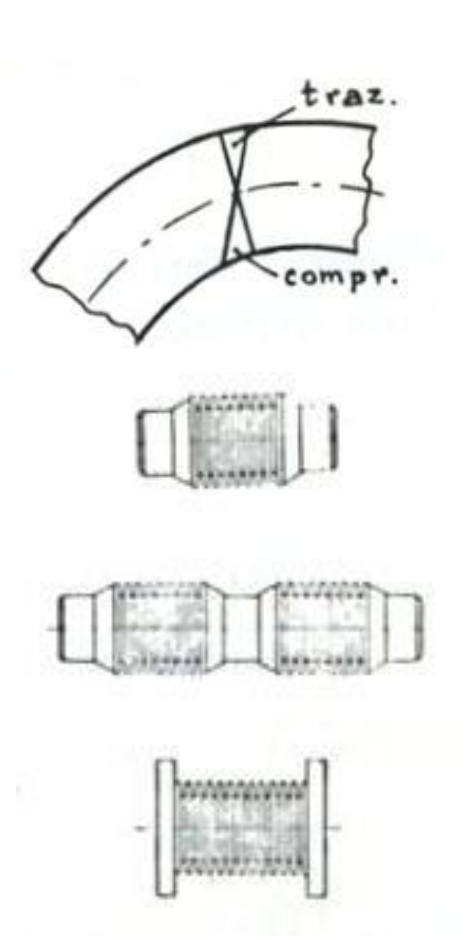




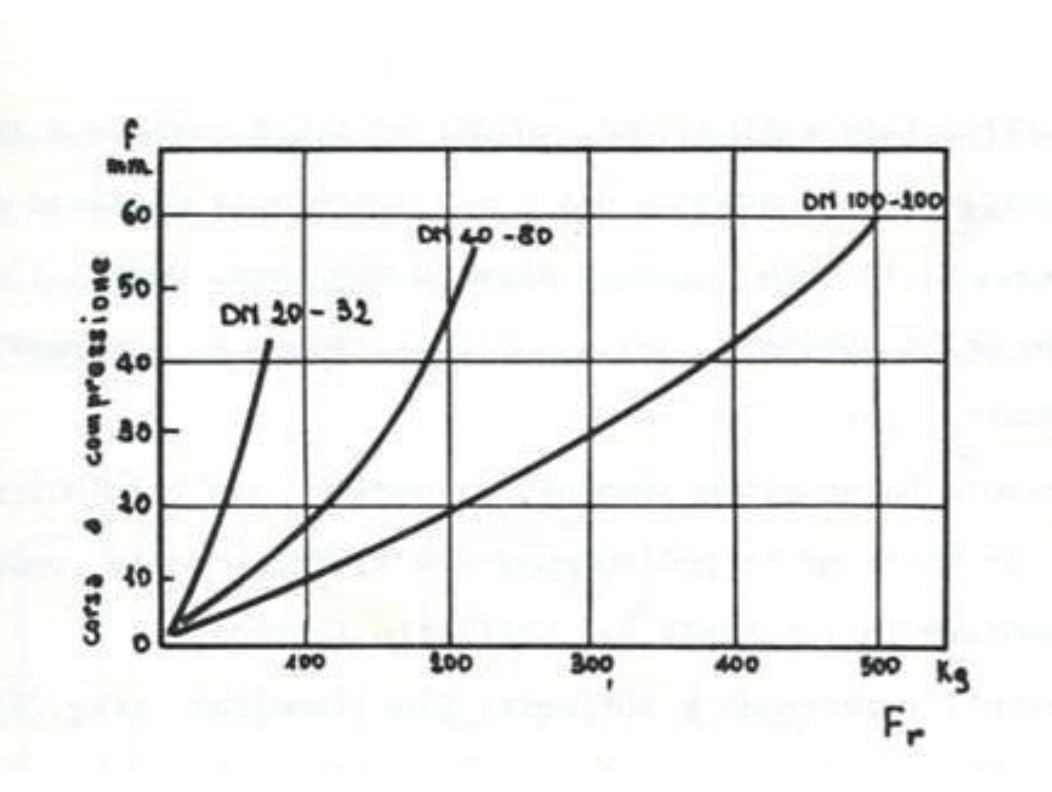
Compensatori assiali a soffietto







Compensatori assiali



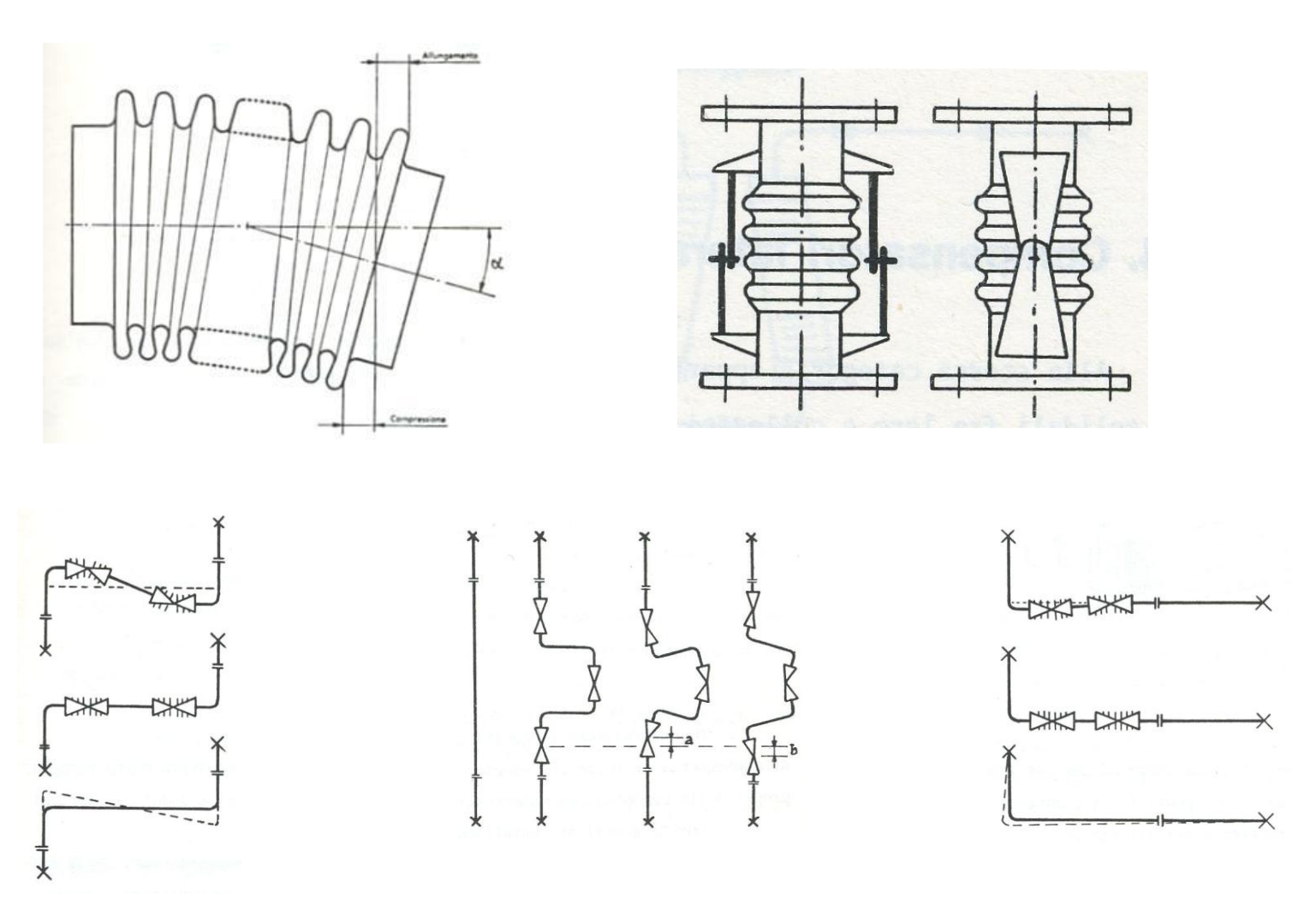
$$A_{eff} = \frac{\pi \cdot d_{m}^{2}}{4}$$

$$d_{m} = \frac{(d_{e} + d_{i})}{2}$$

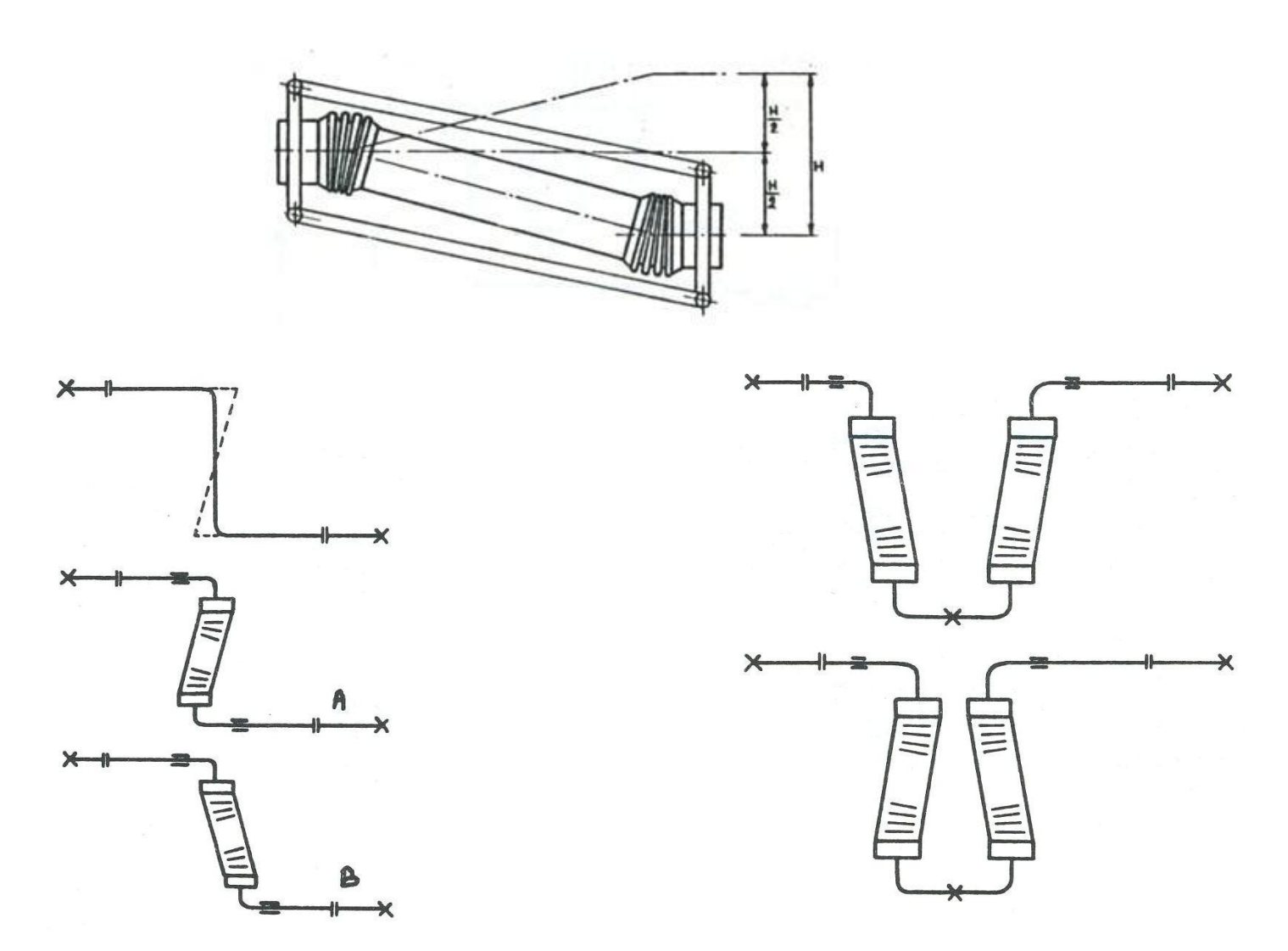
$$F_{p} = \frac{\pi \cdot d_{m}^{2}}{4} \cdot p$$

$$F = F_{p} + F_{r}$$

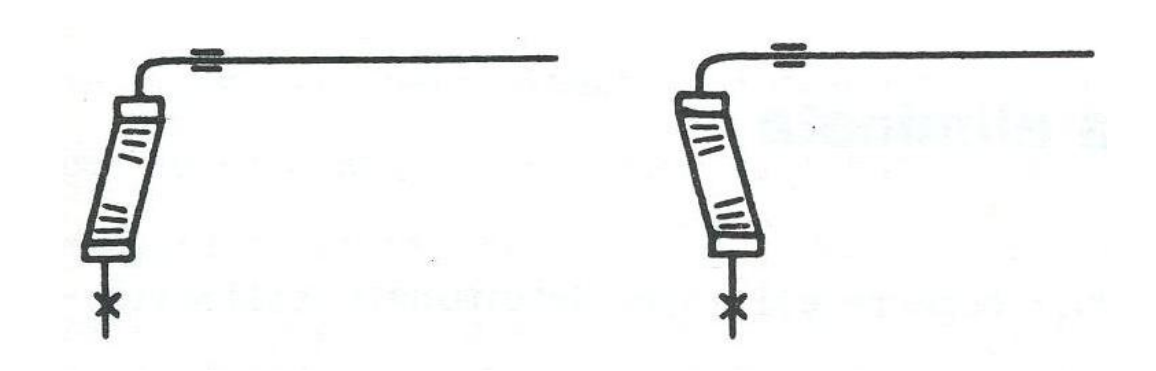
Compensatori a snodo

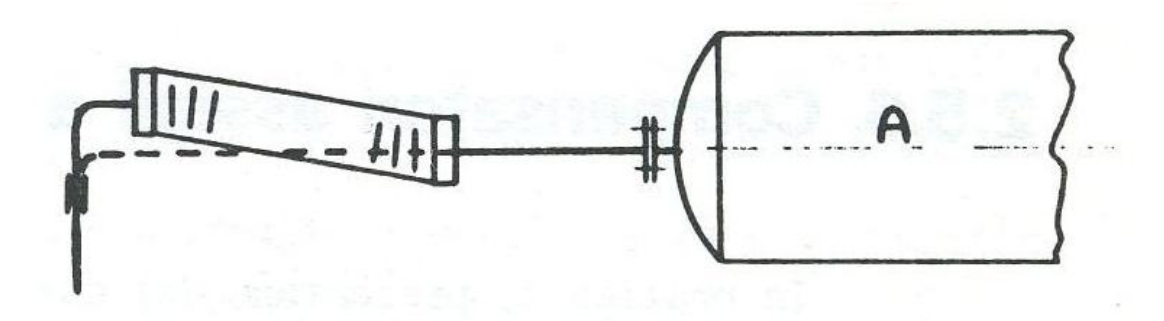


Compensatori laterali

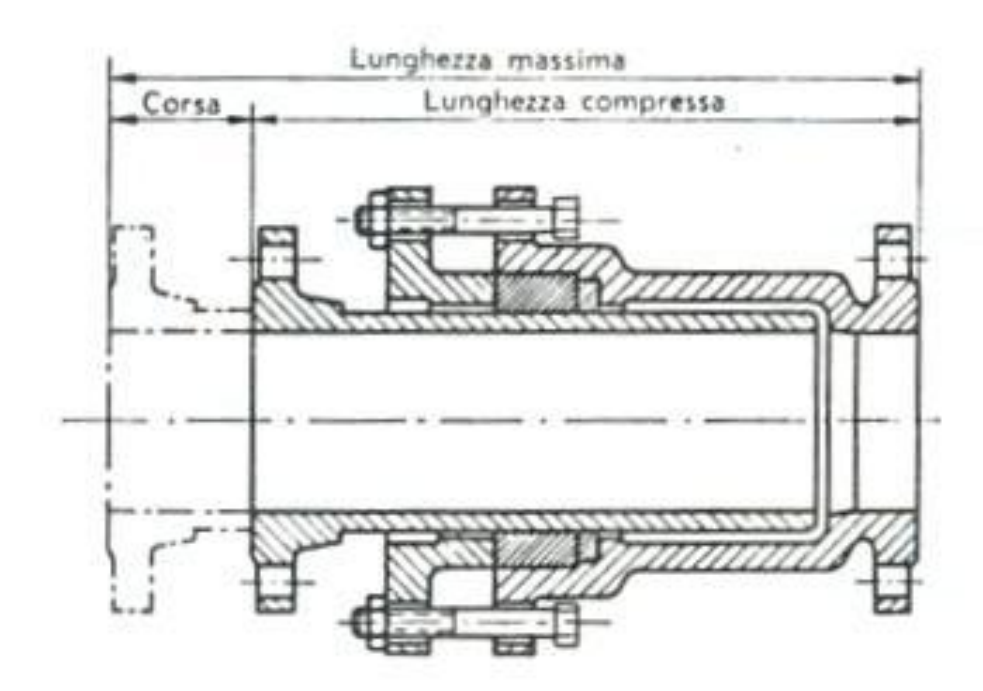


Compensatori laterali





Compensatori a bicchiere



Compensatori assiali a spinta eliminata

